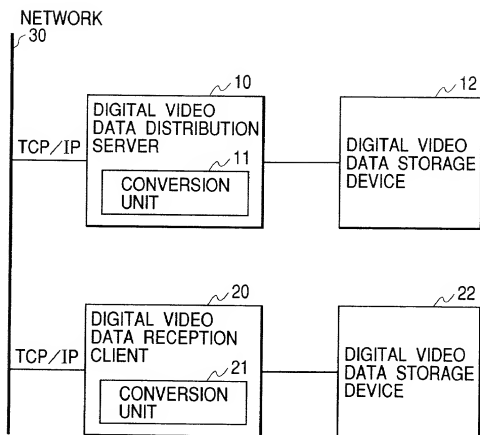


FIG. 1



09761749.01.1801

FIG. 2

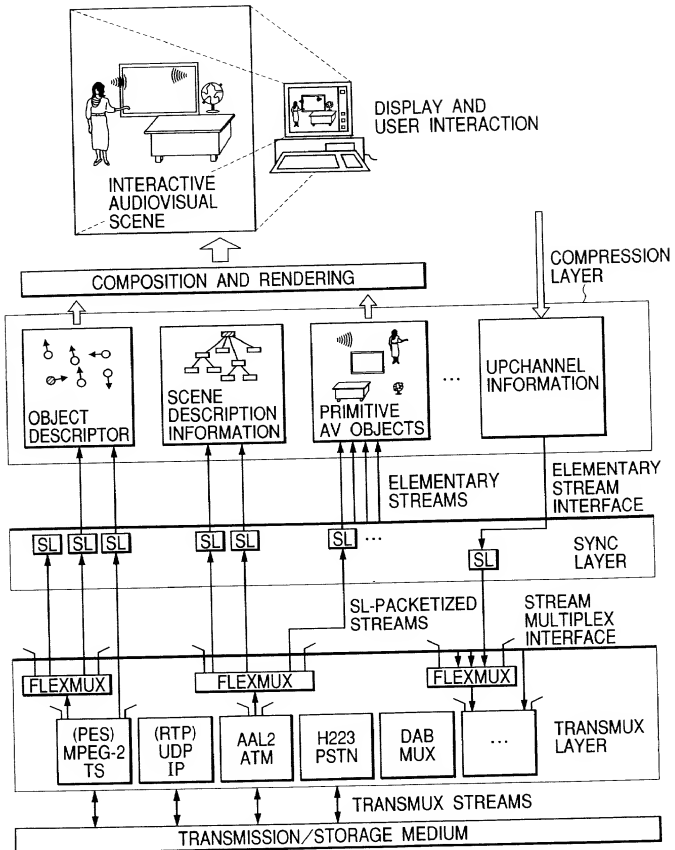


FIG. 3

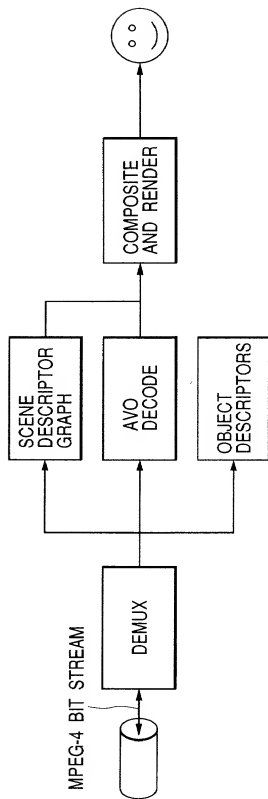


FIG. 4

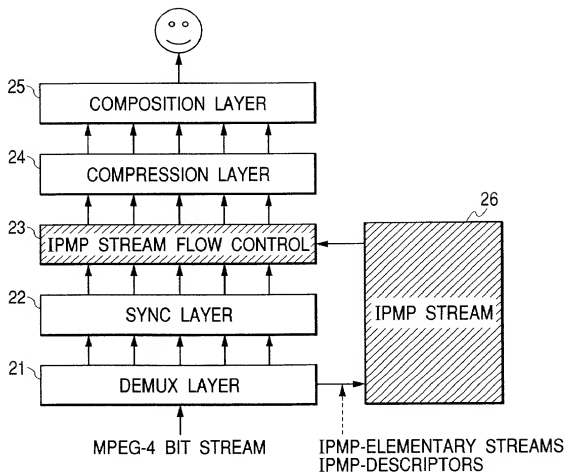


FIG. 5

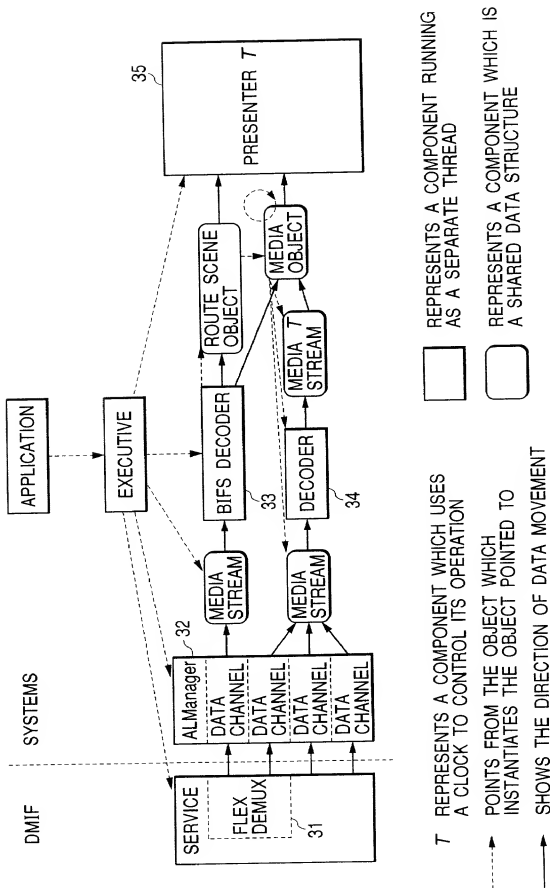
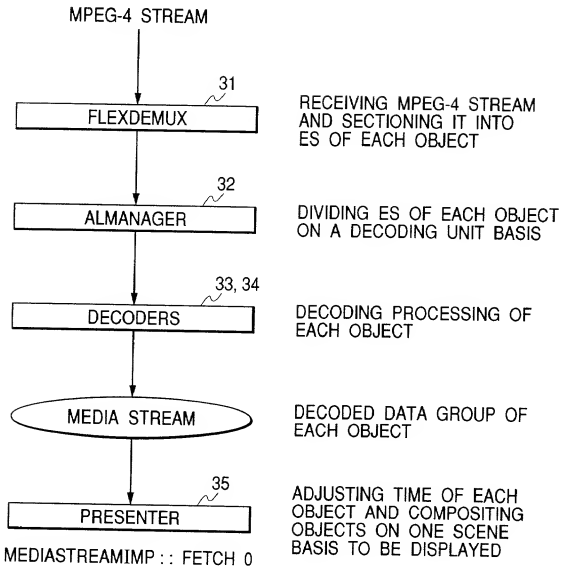


FIG. 6

00761719.011801

FIG. 7

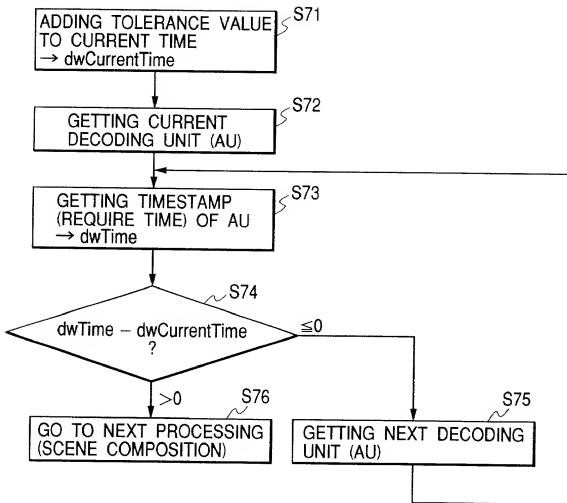


FIG. 8

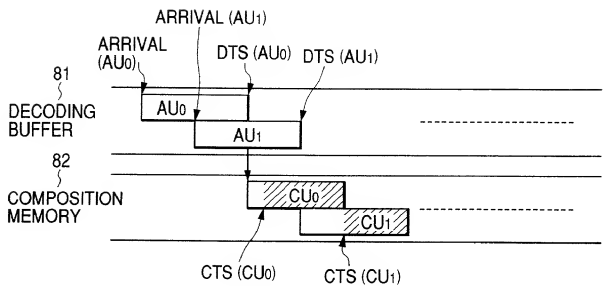


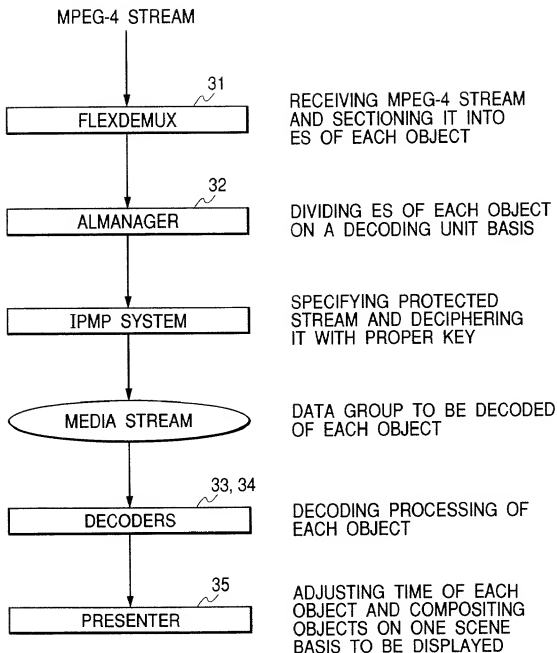
FIG. 9

FIG. 10

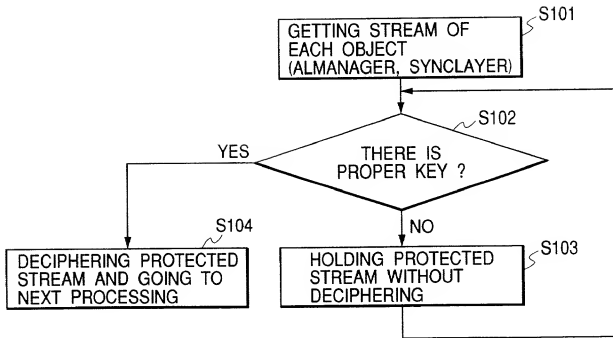


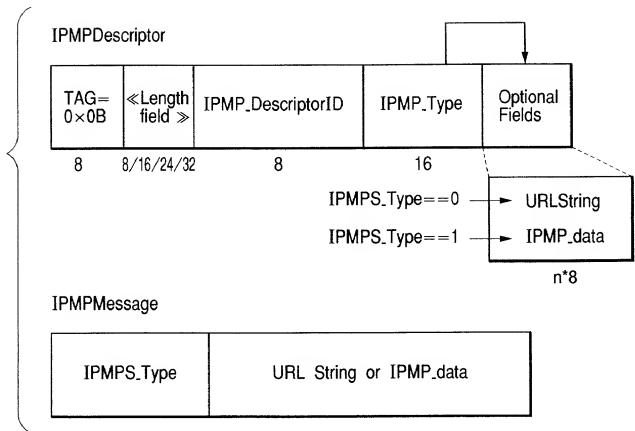
FIG. 11

FIG. 12

CASE 1: SINGLE PATH

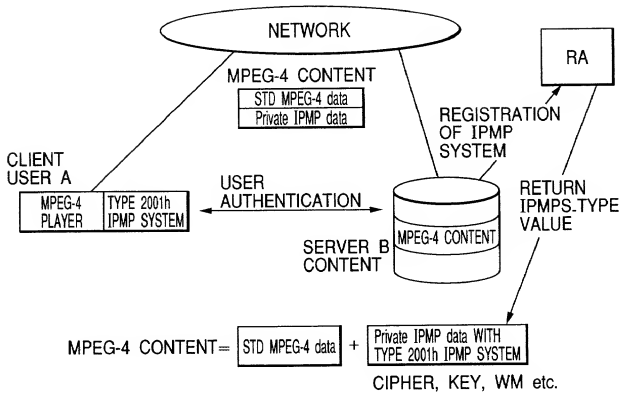


FIG. 13

CASE 2 : MULTI-PATH
ex.OPIMA MODEL

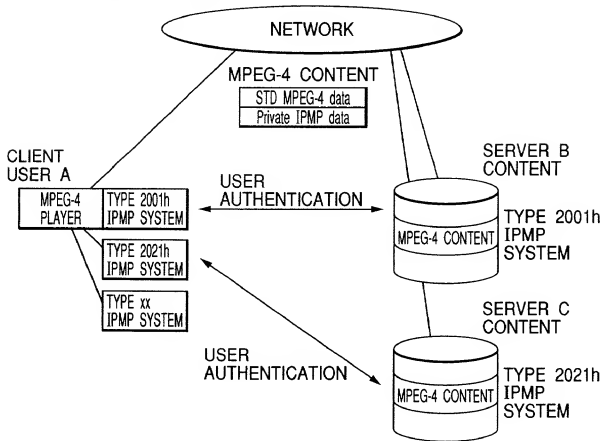


FIG. 14

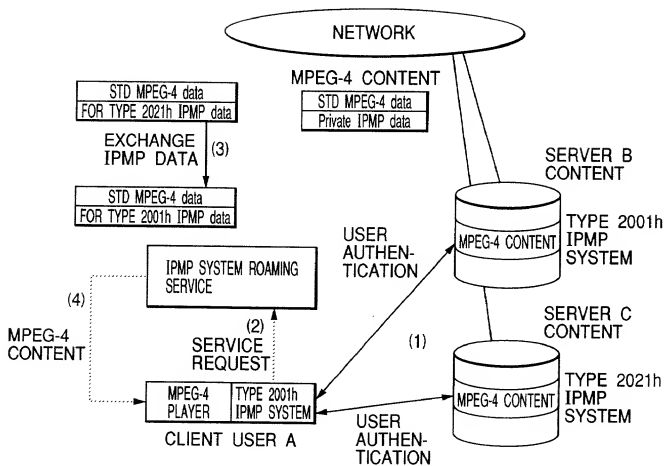


FIG. 15

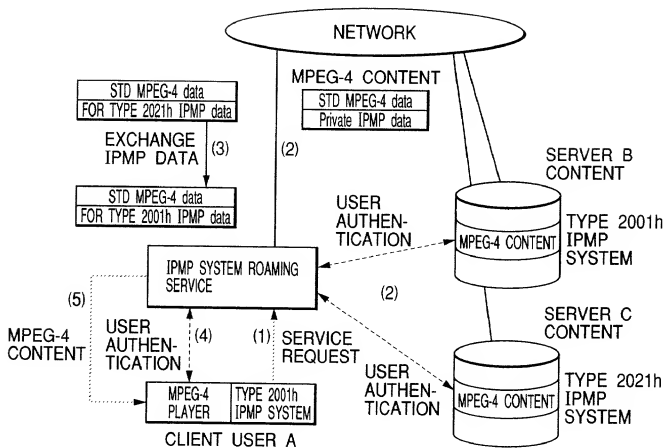


FIG. 16

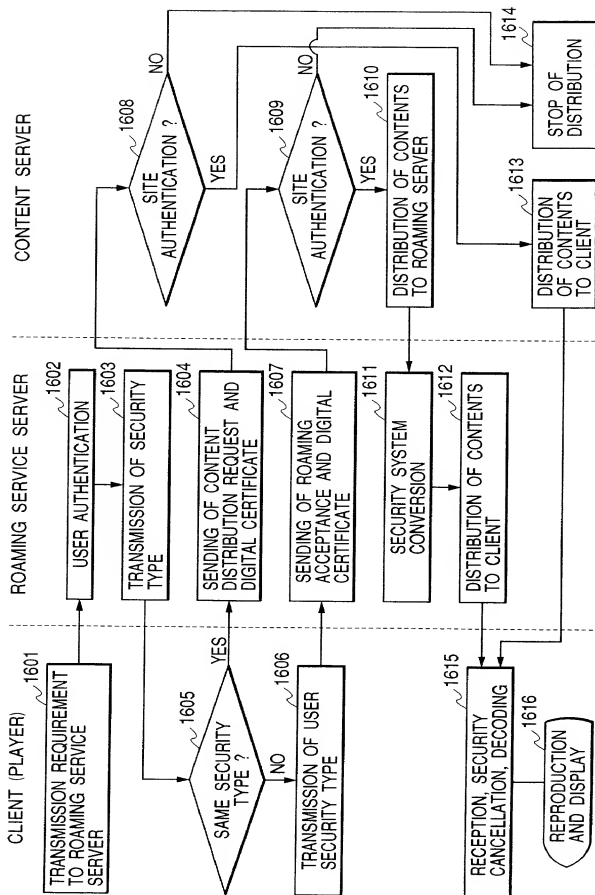


FIG. 17

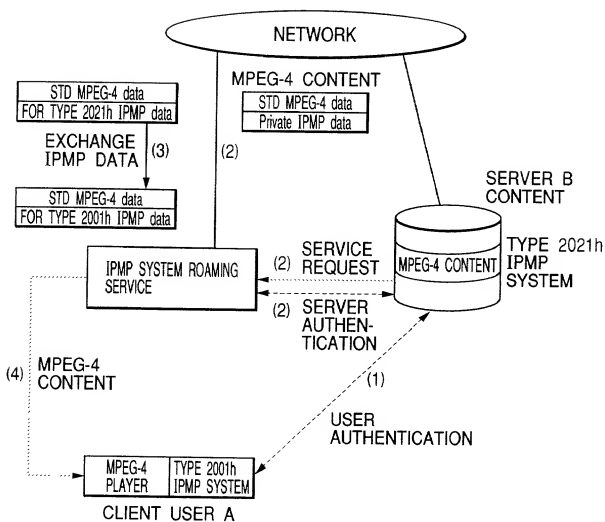


FIG. 18

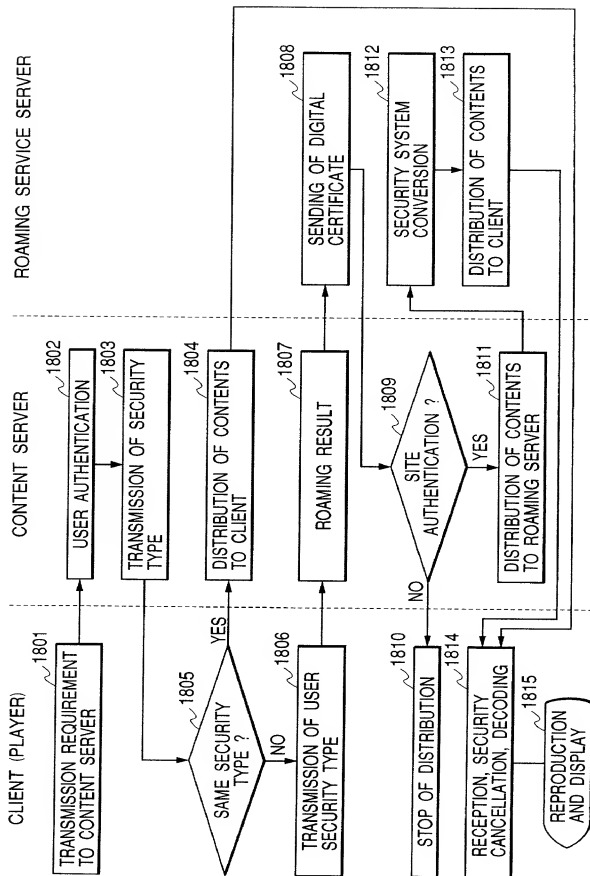


FIG. 19

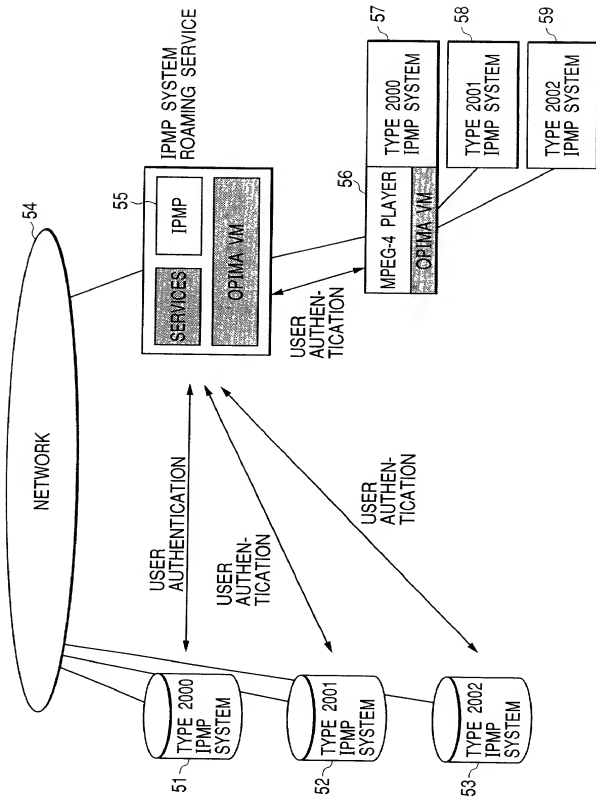


FIG. 20

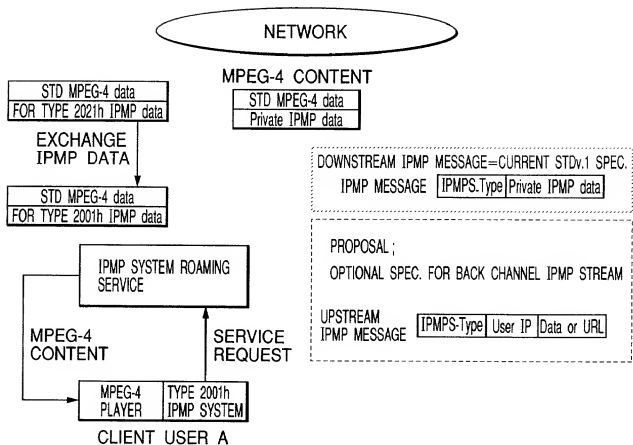
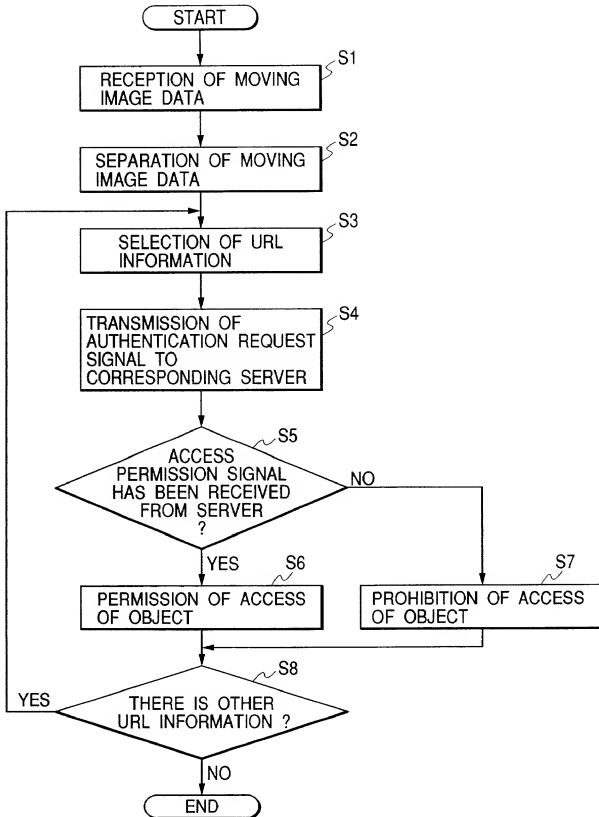


FIG. 22



09764719.011801

FIG. 23

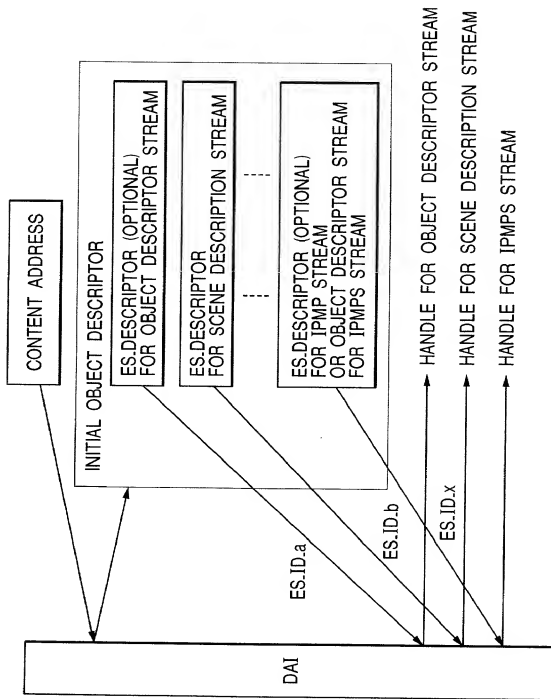


FIG. 24

